

平成 27 年度共同利用研究・研究成果報告書

研究課題名 和文：宇宙線による太陽の影を用いた太陽周辺磁場の時間変動の研究
 英文：A study on variation of interplanetary magnetic field with the cosmic-ray shadow by the sun.

研究代表者	国立情報学研究所	准教授	西澤 正己
参加研究者	甲南大学	名誉教授	山本 嘉昭
	甲南大学 理工学部	教授	梶野 文義
	信州大学 理学部	教授	宗像 一起
	日本大学 生産工学部	准教授	塩見 昌司
	横浜国立大学 工学部	研究員	佐古 崇志
	東京大学 宇宙線研究所	准教授	瀧田 正人
	東京大学 宇宙線研究所	研究員	川田 和正

研究成果概要

1991年から実験を始めたが、サイクル22の最盛期の後半(1991~1993年)のデータから、“太陽の影”が見かけの位置から太陽半径の3倍近く西南西にずれていた。その位置も毎年かなり動いた。最静穏期(1996~1997年)には太陽双極子磁場と地磁気の極性が逆で安定していたため、宇宙線による“影”のずれが相殺して見かけの太陽中心に静止していたことが10TeV領域で確認された。これは簡単なモデルを用いたシミュレーションでも再現された。1999年に拡張された7.5m間隔のTibet-IIIアレイで観測した2000年のデータでは3~15TeVのエネルギー領域で“太陽の影”は全く掻き消えていた。これは、黒点数の増加による局所磁場に太陽双極子磁場が乱されて宇宙線粒子が散乱されたためと思われるが、全く予想しなかった新しい知見である。2006~2009年には太陽活動は最静穏期を迎えたが、われわれの予想通り、太陽双極子磁場と地磁気の極性がそろって、“太陽の影”が地磁気だけのずれの2倍になるかどうか確認することに大きな興味があった。2008年から2009年の解析の結果、ほぼ予想通りの結果になっていることが確認できた。この実験は、太陽活動の移り変わりに伴う“影”の時間的な変動を観測しているので、太陽活動の極大、極小の時期だけを観測すればよいと言うものではなく、常時観測を続けていかねばならないのが特徴である。

2014年からのデータについては、校正中のためまだ分析できていないが、2013年には、1996年から2009年までの「太陽の影」の変化を利用して、太陽コロナ磁場を予測する2つの理論モデルを検証した。その結果、右図に示すように、太陽近傍の電流は磁場構造に影響しないと仮定したPFSSモデルよりも、太陽近傍の電流が磁場構造に与える影響を考慮したCSSSモデルが「太陽の影」の実験結果をよく再現することが分かった。これは、銀河宇宙線を用いて太陽コロナ磁場の検証を行った世界で初めての成果である。この結果はPRLに掲載され[1]、“Editor’s Suggestions”としてハイライト論文に選定された。また、米国物理学会(AP S)の運営するウェブサイト Physics (Synopsis)で紹介文付きで取り上げられた。また、2015年日本物理学会秋季大会では、3TeVから100TeVの領域で、太陽の影のエネルギー依存性を、太陽の自転周期によるセクター依存性ととともに報告している[2]。

[1] “Probe of the Solar Magnetic Field Using the Cosmic-Ray Shadow” of the Sun”, M. Amenomori, et al., Physical Review Letters, 111, 011101 (2013)

[2] 中村佳昭 for Tibet AS γ Collaboration, 「チベット空気シャワー実験で観測された太陽の影」, 日本物理学会2015年秋季大会, 25pSK-5 (2015)

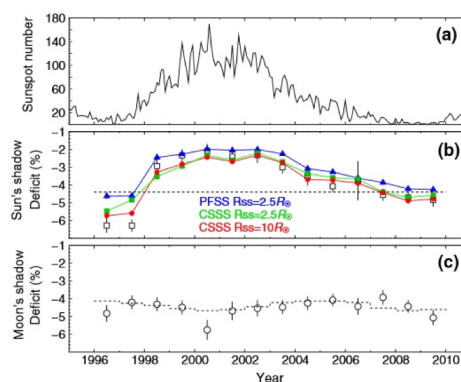


FIG. 3 (color online). Temporal variations of (a) the monthly mean sunspot number [24], (b) the deficit intensity due to the Sun’s shadow, and (c) the deficit intensity due to the Moon’s shadow. The open squares in the panel (b) are the observed central deficit (D_{obs}). The blue triangles, green squares, and red circles indicate the central deficits (D_{MC}) by the MC simulations assuming the PFSS ($R_{ss} = 2.5R_{\odot}$), the CSSS ($R_{ss} = 2.5R_{\odot}$), and the CSSS ($R_{ss} = 10.0R_{\odot}$) models, respectively. The dashed lines in the panels (b) and (c) are the deficits expected from the apparent angular size of the Sun and the Moon.